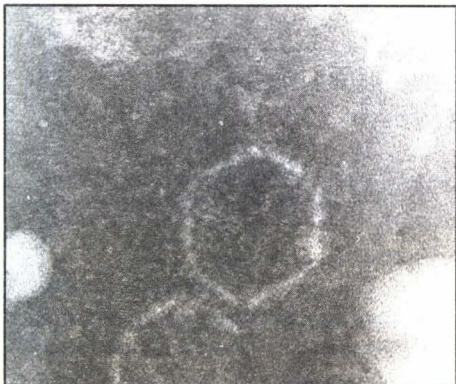
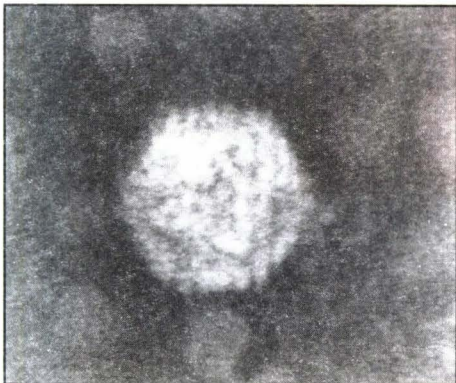


جداسازی و مطالعه آدنوویروس عامل مولد بیماری برونشیت در بلدرچین‌ها

- نسرین آبشار، عضو هیات علمی مؤسسه رازی
- سیدمهدی آقاخان، عضو هیات علمی مؤسسه رازی
- چیمین مارونسی، کارشناس بخش بیماریهای طیور مؤسسه رازی
- زهرا سامی، کارشناس بخش بیماریهای طیور مؤسسه رازی
- ساسان رسول‌نژاد فریدونی، عضو هیات علمی مؤسسه رازی
- محمد خدانشناس، عضو هیات علمی مؤسسه رازی
- سیدعلی پوربخش، عضو هیات علمی مؤسسه رازی

تاریخ دریافت: بهمن ماه ۱۳۷۸ تاریخ پذیرش: تیرماه ۱۳۷۹

QBV^۱ و CELO^۲ هر دو یک عامل بوده و جزو آدنوویروس تیپ یک پرندگان طبقه‌بندی می‌شوند (۲). ۱۲، ۱۳ و ۱۷). تاکنون هیچگونه ارتباط سرولوژیکی بین آدنوویروس پرندگان (سروتیپ یک) و دیگر ویروسهای مولد بیماری در آنها، مانند برونشیت عفونی، لارنگوتراکئیت، آنسفالیت پرندگان، نیوکاسل،



عکسهای شماره ۱ و ۲ تصویر ویروس را با استفاده از میکروسکوپ الکترونی نشان می‌دهد.

✓ Pajouhesh & Sazandegi, No 48 PP: 128-134

Isolation and study of quail bronchitis producing adenovirus

By: N. Abshar, Aghakhan S.M., Marounesi Ch., Sami Z., Rasoul Nejad Fereidouni S., Khodashenas M. and Pourbakhsh S.A., Razi Serum and Vaccin Research Institute.

In 1996, an outbreak of an acute highly contagious respiratory and ophthalmic disease occurred in a quail breeding farm, which produced a high mortality rate in quails. In order to determine the etiologic agent of the disease, samples were taken from conjunctiva, respiratory tract, and intestinal contents of affected birds which showed conjunctivitis and severe respiratory symptoms. By use of tests such as inoculation into 9-12 days old SPF chick embryos via the allantoic sac, cultivation on primary chick embryo liver cells, electron microscopic examination, H&E staining of the monolayers, thermal and lipid solvent stability, pH resistance, agglutination of rat RBCs and also serological tests (i.e. neutralization, cross neutralization, agar gel precipitation and electrophoresis) were carried out. The results showed that the causative agent is quail bronchitis virus (QBV). This disease has been reported by Razi vaccin and serum research institute in Iran for the first time. Key words: Quail, Bronchitis, Adenovirus, Yazd.

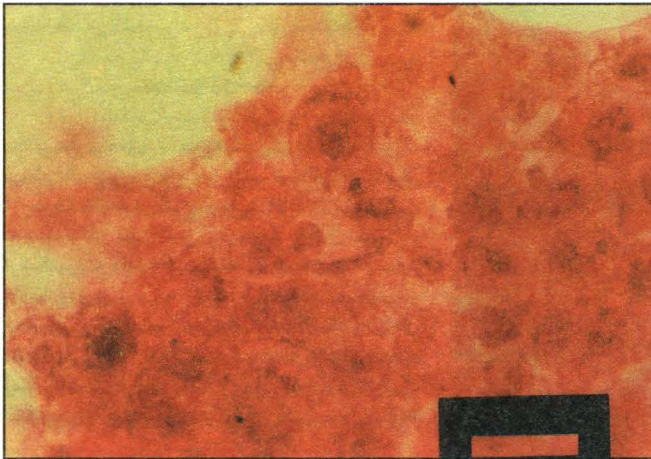
چکیده

در پی وقوع یک بیماری عفونی واگیردار در یکی از مزارع پرورش دهنده بلدرچین، که با تلفات بسیار زیاد، نشانه‌های شدید تنفسی و همچنین کنژکتیویت همراه بود، از ۲۶ قطعه پرندۀ بیمار و تلف شده ارسالی به بخش بیماریهای طیور مؤسسه سرم‌سازی رازی، نمونه‌گیری به عمل آمد. پس از انجام آزمایشات مقدماتی ویروس‌شناسی و مشاهدات میکروسکوپ الکترونی، بیماری مزبور را برونشیت بلدرچین (Quail bronchitis) و عوامل آن را ویروس QBV تشخیص دادیم که با استفاده از آزمایشات تکمیلی مانند تزریق به کشت سلولی اولیه کبد جنین جوجه، آزمایشات سرولوژی، مقاومت در مقابل حلال‌های چربی، تغییرات pH و دما و نیز توانایی ایجاد پلاک ویروسی در محیط کشت آگاردار، تشخیص اولیه بیماری تأیید گردید. شایان ذکر است که این بیماری برای نخستین بار در ایران گزارش می‌گردد. کلمات کلیدی: بلدرچین، برونشیت یزد، آدنوویروس.

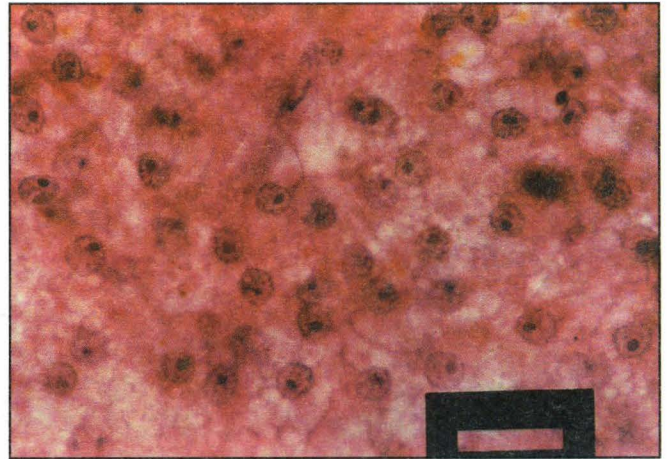
بیماری در سایر نقاط دنیا داده شد (۱۹۸۶، ۱۹۸۵ Dubose, Cook). این بیماری در جهان انتشار وسیعی داشته و تاکنون از کشورهای ایالات متحده آمریکا، کانادا، آلمان، سوئد، فرانسه، لهستان، ایتالیا، یوگسلاوی، انگلستان، چکسلواکی، ایرلند شمالی و جنوبی، هند، کره، مصر و استرالیا گزارش شده است. طبق بررسی‌های DuBose و Grumbles و ویروس

مقدمه

بیماری برونشیت بلدرچین یک بیماری تنفسی حاد و واگیر با میزان کشندگی بالا بوده که توسط آدنوویروس تیپ یک پرندگان در بلدرچین‌ها ایجاد می‌شود. بیماری برای اولین بار در سال ۱۹۴۹ توسط Olson در ویرجینیای غربی گزارش گردید، و طی سالهای بعد گزارشات متعدد دیگری حاکی از وجود



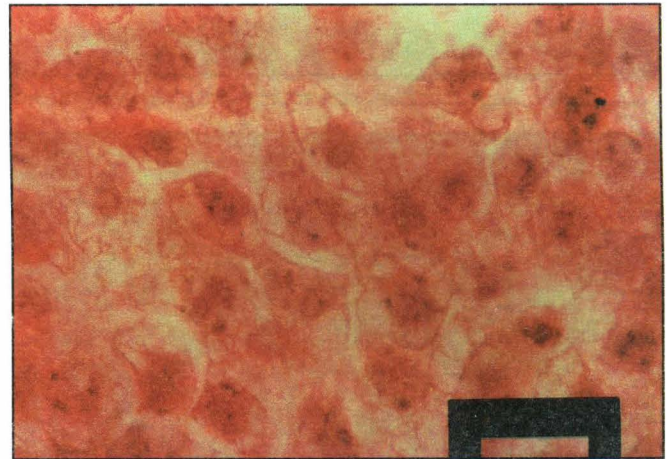
تصویر شماره ۵- تغییرات را در سلول‌های آلوده شده با ویروس نشان می‌دهد (گنجیدگی درون سلولی در تصویر دیده می‌شود).



تصویر شماره ۳- سلول‌های کبدی جنین جوجه را در حالت طبیعی نشان می‌دهد.



تصویر شماره ۶- سلول‌های آلوده شده را در شیشه‌های محتوی کشت سلول نشان می‌دهد.



تصویر شماره ۴- سلول‌های کبدی جنین جوجه آلوده شده با ویروس را نشان می‌دهد.

Sharma (۱۹۸۲) در مطالعه بر روی ۶۳۲ مرغ گوشتی و تخمگذار نشان داد که ۲۹٪ از آنها به طور طبیعی دارای پادتن‌های علیه ویروس می‌باشند (۱۶).

Yates نیز نشان داد که همراهی ویروس CELO با ویروس‌های AAV می‌تواند باعث تحریک و تشدید پاسخ ایمنی شده در حالی که ویروس‌های AAV به تنهایی قادر به ایجاد پاسخ ایمنی قابل ملاحظه‌ای نبودند (۱۸ و ۱۹). هر چند تشخیص قطعی برونشیت بلدرچین بر پایه روش‌های آزمایشگاهی استوار می‌باشد اما می‌توان با استفاده از علائمی مانند علائم شدید تنفسی، انتشار سریع بیماری، کونژنکتیویت و بالاخره مرگ و میر بالا تا حدودی به تشخیص اولیه بیماری پی برد. تشخیص آزمایشگاهی بیماری نیز براساس عکس‌های تهیه شده با استفاده از میکروسکوپ الکترونی، رنگ‌آمیزی هماتوکسیلین وائوزین در کشتهای سلولی آلوده شده (جهت اثبات وجود گنجیدگی‌های بازوفیلیک درون سلولی)، تزریق به تخم مرغ جنین‌دار SPF، تزریق به کشت سلول اولیه جنین مرغ، آلوده نمودن تجربی

نیز مبنی بر جداسازی ویروس از بلدرچین‌های جوانی که فاقد هرگونه علائم جراحی بوده‌اند، داده شده است (۵، ۸، ۱۲، ۱۳ و ۱۷). به دنبال ایجاد آلودگی با آدنووایروس پرنندگان، پادتن‌های خنثی‌کننده به سرعت افزایش یافته و پس از یک هفته قابل تشخیص می‌گردند. همچنین پادتن‌های رسوب‌کننده، ممانعت از هم‌آگلوتیناسیون و کمپلمان فیکساسیون حدود ۷ روز پس از شروع بیماری ظاهر شده و ۲ تا ۳ هفته به حداکثر عیار خود می‌رسند. به‌طور کلی بازماندگان از آلودگی‌های طبیعی و تجربی، حداقل برای مدت ۶ ماه نسبت به آلودگی با QBV مقاوم بوده و سطوح بالای پادتن در سرم بلدرچین‌های بهبود یافته از بیماری نیز گزارش گردیده است.

Clemmr (۱۹۶۵) نشان داد جوجه‌هایی که در یک روزگی آلوده شده بودند تا ۴۵ روزگی نسبت به آلودگی مجدد با ویروس مقاوم بوده‌اند (۲). Khawaja در (۱۹۸۸) توانست با استفاده از واکسن D78 (واکسن علیه بیماری گامبور) جوجه‌های یک روزه را در مقابل آدنووایروس‌ها محافظت نماید (۱۱).

لنفوماتوزیس یا لکوزیس و آبله پرنندگان گزارش نگردیده و این در حالی است که شواهدی دال بر تشدید علائم بیماری از همراهی آدنووایروس‌ها و دیگر بیماری‌های پرنندگان در دست می‌باشد (۱، ۴، ۷، ۸، ۱۱، ۱۵ و ۱۶). آلودگی طبیعی اغلب در بلدرچین‌های زیر چهار هفته با شروع سریع و ناگهانی نشانه‌های بیماری مانند عطسه، تنفس دهانی، صداهای تنفسی و همچنین کنژکتیویت مشخص می‌گردد. ضایعات آسیب‌شناسی به صورت احتقان حفرات بینی، تورم سینوس زیرکاسه چشمی، تورم کیسه‌های هوایی، نای و برونش دیده می‌شود. در کبد کانون‌های نکروتیک به قطر ۲-۷ میلی‌متر مشاهده شده که در مطالعه ریزبینی سلول‌های کبدی مجاور این کانون‌ها حاوی گنجیدگی‌های بزرگ داخل سلولی می‌باشند. این گنجیدگی‌ها ۲-۶ روز پس از ورود عامل بیماری در سلول‌های کبدی ظاهر می‌شوند. میزان مرگ و میر از ۱۰ تا ۱۰۰٪ در بلدرچین‌های باب وایت گزارش شده، هر چند که انتشار بیماری در پرنندگان پیرتر کندتر بوده و یا حتی ممکن است بدون علائم باشد. گزارشات

پرنندگان (جوجه مرغ و بلدرچین) و آزمایشهای سرولوژیک می‌باشد.

مواد و روشها

بیماری مورد مطالعه، در یکی از مزارع بزرگ پرورش بلدرچین رخ داد. سن اغلب پرنندگان مبتلا بین ۸-۱۶ هفته گزارش گردید. طبق اظهارات مسؤولین فارم، پرنندگان مبتلا پس از بروز نشانه‌های تنفسی و کونژنکتیویت حاد به سرعت تلف می‌شدند. به منظور جداسازی ویروس و تهیه پادگن، از مایع چشم، مدفوع و محتویات روده بلدرچین‌های تلف شده و بیمار، سوسپانسیون ۱۰٪ تهیه گردیده و پس از انجام آزمایشات باکتریایی متداول، افزودن آنتی‌بیوتیک مناسب و عبور دادن از فیلترهای یکبار مصرف (۴۵ میکرومتری)، سوسپانسیون را به تخم مرغ‌های جنین‌دار ۹-۱۲ روزه SPF و سپس به کشتهای سلولی اولیه کبد جنین جوجه تلقیح نمودیم.

تهیه پادگن در تخم مرغهای جنین‌دار SPF

۰/۲ میلی‌لیتر از سوسپانسیون ویروسی را به جنین‌های ۹ روزه از طریق حفره آلتوتویک تلقیح نموده و پس از ۷۲ تا ۹۶ ساعت در صورت مردن یا در حال مرگ بودن جنینها، مایع آلتوتویک (AAF) را جمع‌آوری و پس از سانتریفوژ نمودن و افزودن آنتی‌بیوتیک مناسب به میزان ۰/۲ میلی‌لیتر به هر تخم مرغ سری بعدی تزریق گردید. این عمل تا پنج تحت کشت موفق ادامه یافت و سپس از پنجمین سری جهت اهداف تیتراسیون و آزمایشات تشخیصی دیگر استفاده گردید.

تهیه پادگن در کشت سلول

کشت سلولی اولیه تک لایه‌ای مطابق روش Burke و Karel (۵، ۱۰) تهیه گردید و پس از تلقیح نمودن رفتهای ۱-۲ و ۱۰-۲ از ویروس مورد نظر، تا زمان ایجاد CPE کامل (۷۲ تا ۹۶ ساعت)، در گرمخانه ۳۷ درجه سانتیگراد قرار داده شدند. پس از کنده شدن ۸۰-۹۰ درصد سلولها از سطح شیشه مخصوص کشت و انجام مراحل یخ‌زدن و ذوب‌شدن، آنها را سانتریفوژ نموده و جهت مصارف بعدی در فریزر نگهداری نمودیم. همچنین به منظور مقایسه، از یک سوش CELO آدنووایروس تیپ یک پرنندگان (Central Veterinary Lab, Weybridge, UK, 1974) استفاده گردید.

تهیه آنتی‌سرم‌ها

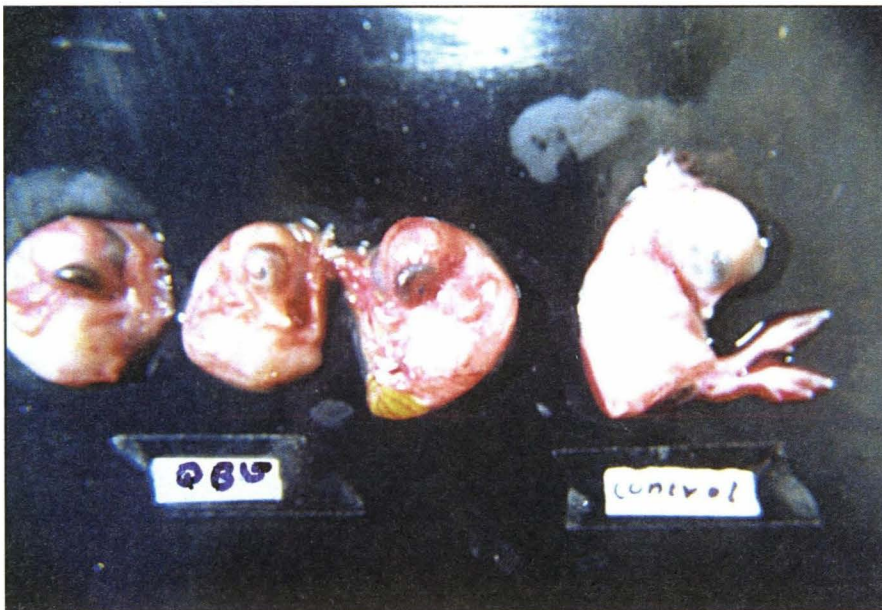
الف - آنتی سرم استاندارد CELO - Phelps (SPAFAS, Inc, Norwich Conn, US Vet Licence) به عنوان آنتی سرم کنترل مثبت استفاده گردید.

تهیه آنتی‌سرم در خرگوش

با استفاده از روش Pereira (۱۴) ویروسهای CELO (سوش فرانس)، برونشیت عفونی (سوش بودت) و ویروس مورد نظر (سوش جدا شده) را همراه با یاورهای کامل و ناقص فروند، به صورت زیرجلدی، به خرگوش تزریق نموده و پس از خونگیری و غیرفعال



تصویر شماره ۷- تولید پلاک را توسط ویروس در پلیت‌های حاوی کشت سلول نشان می‌دهد.



تصاویر شماره ۸- تغییرات ایجاد شده به واسطه ویروس را در جنین تخم مرغ نشان می‌دهد.

تهیه کشت اندام نای از جنین جوجه

پس از خارج کردن اندام نای از جنین‌های ۱۹-۲۰ روزه SPF، حلقه‌های نای را از یکدیگر جدا نموده و در محیط کشت HANKS همراه با TPB نگهداری کرده و پس از انجام مراحل شستشو با PBS ویروس مورد نظر را به رقت ۱-۱۰ به لوله‌های آزمایش محتوی حلقه‌های نای تلقیح نمودیم.

تهیه محیط کشت سلولی آگاردار

با استفاده از روش Jasty (۹) کشت سلولی تک

کردن سرمها (در بن ماری ۵۶ درجه سانتیگراد)، جهت مصارف بعدی در فریزر ۲۰- درجه نگهداری نمودیم.

تهیه گلبولهای قرمز رات جهت آزمایش هماگل‌تیناسیون (HA)

از قلب رات‌های سفید (بخش پرورش حیوانات آزمایشگاهی مؤسسه رازی) خونگیری به عمل آورده و بر طبق روش Aghakhan (۳) سوسپانسیون ۵۰٪ از RBC تهیه گردید و با غلظت نهایی ۱٪ مورد استفاده قرار گرفت.

۱۰ قطعه به عنوان کنترل، ۱۰ قطعه به روش درون نایی، ۹ قطعه به روش تزریق درون صفاقی، ۸ قطعه به روش درون چشمی و ۸ قطعه به روش خوراکی.
ب - بلدرچین‌ها: ۴۵ قطعه بلدرچین با ویروس مورد مطالعه به صورت زیر تلقیح گردیدند:
۵ قطعه به عنوان کنترل، ۱۰ قطعه به روش درون نایی، ۱۰ قطعه به روش درون چشمی و ۲۰ قطعه به روش خوراکی - چشمی - نایی، به طور تام.

آزمایشات خنثی‌سازی ویروس

با استفاده از آنتی سرم‌های علیه ویروس‌های CELO و IBV و تهیه شده در خرگوش و همچنین به‌کارگیری آنتی سرم استاندارد ویروس CELO. آزمایشات نوترالیزاسیون و کراس نوترالیزاسیون انجام گردید. برای این منظور با استفاده از ویروس‌های QBV و CELO و IBV به میزان $100 \text{ EID}_{50}/\text{ml}$ رقت‌های کار ۳ تهیه گردید. سپس سرم‌ها به ترتیب به شیشه‌های محتوی ویروس اضافه شده و رقت‌های سریال دو برابر به دست آمد (تا رقت $\frac{1}{192}$). در ضمن ویروس‌های فوق‌الذکر را علاوه بر آنتی سرم مخصوص خودشان با آنتی سرم‌های ویروس دیگر نیز مجاور نمودیم. پس از سپری شدن زمان لازم (۷۵ دقیقه)، محتویات شیشه‌ها (آنتی سرم به علاوه ویروس) به تخم مرغ‌های ۱۰ روزه SPF به میزان 0.2 میلی‌لیتر تزریق شد (به هر رقت ۶ عدد تخم مرغ تعلق گرفت). به منظور کنترل، از هر ویروس به طور همزمان یک تیتراسیون انجام گردید.

آزمایش رسوب در ژل

از این آزمایش به صورت کمی و کیفی (با استفاده از روش اوکترونی) برای ارزیابی آنتی سرم‌ها و پادگن‌های ویروس استفاده شد. بدین منظور از مخلوط آگار ۱٪ و کلرور سدیم ۵٪ برای تهیه پلیت‌های ژل استفاده گردید. پس از تخلیه چاهک‌ها، پادگن ویروس‌های QBV، CELO و IBV در چاهک‌های وسط و آنتی سرم‌های مختلف در چاهک‌های اطراف ریخته شد (از آنتی سرم‌ها رقت‌های $1:1, 1:2, 1:4, 1:8, 1:16, 1:32, 1:64$ و $1:128$ به دست آمد). خطوط ایجاد شده پس از ۲۴-۲۸ ساعت مورد بررسی قرار گرفت.

آزمایش ژل الکتروفورزیس

با استفاده از آنتی سرم استاندارد CELO و همچنین ویروس‌های QBV و CELO با کمک بخش بیوتکنولوژی مؤسسه رازی، آزمایش ژل الکتروفورز به عمل آمد (که متأسفانه قادر به تهیه عکس از لام‌ها نشدیم).

آزمایش هم‌آگلوتیناسیون

برای انجام این آزمایش، از میکروپلیت‌های ۹۶ خانه‌ای با سه لوله‌های آزمایش 12×75 میلی‌متری ته‌گرد، استفاده گردید. ابتدا رقت‌های سریال ۲ برابر از ویروس مورد نظر (0.5 ml در هر چاهک) تهیه شد و سپس با افزودن حجم‌های مساوی از نرمال سالین و سوسپانسیون ۱٪ گلبول‌های قرمز رات آزمایش ادامه یافت. لوله‌ها و میکروپلیت‌ها برای مدت ۹۰ دقیقه در گرمخانه ۳۷ درجه سانتیگراد قرار داده شدند.

تهیه عکس‌های میکروسکوپ الکترونی

مایع آلانتوآمینوتیک برداشت شده از تخم مرغ‌های



تصاویر شماره ۹ - تغییرات ایجاد شده به واسطه ویروس را در جنین تخم مرغ نشان می‌دهد.



تصاویر شماره ۱۰ - تغییرات ایجاد شده به واسطه ویروس را در جنین تخم مرغ نشان می‌دهد.

Aghakhan و Burke (۳ و ۵) سوش جدا شده در مقابل حلال‌های چربی مانند اتر و کلروفرم، تغییرات دما (۵۰ و ۵۶ درجه سانتیگراد) و تغییرات pH آزمایش گردید.

پرندگان مورد آزمایش

جوجه مرغ‌های دو روزه (هچ شده از تخم مرغ‌های SPF) و بلدرچین‌ها
الف - جوجه مرغ‌ها: ۴۵ قطعه جوجه دو روزه با ویروس مورد نظر به صورت زیر تلقیح گردیدند:

لایه‌ای اولیه از جنین جوجه به عمل آمده و پس از آلوده کردن آنها با رقت‌های 10^{-4} ، 10^{-5} و 10^{-6} از ویروس مورد نظر، محیط آگاردار رویی را که شامل محیط HANKS همراه با TPB و FCS و آگار خالص شده دیفکو بود، به آن اضافه نمودیم. سپس به منظور ظهور پلاک‌های ویروسی، نترال رد یک هزارم به آنها اضافه گردید.

آزمایشات پایداری ویروس در مقابل عوامل فیزیکی و شیمیایی

با استفاده از روش‌های توضیح داده شده توسط

دسته کنترل و آلوده شده تقسیم گردیدند، سپس در

جدول شماره ۱- نتیجه پایداری ویروس در مقابل حلال‌های چربی

حلال چربی	ویروس	در معرض حلال بوده است	در معرض حلال نبوده است
کلروفرم	QBV	۹/۹۵/ml	۱۰/ml
کلروفرم	NDV	۰	۹/۹۵/ml
اتر	QBV	۱۰/۲/ml	۱۰/۲/ml
اتر	NDV	۰	۹/۴/ml

جدول شماره ۲- نتیجه پایداری ویروس در مقابل تغییرات pH

زمان (ساعت)	pH=۲	pH=۷/۲
۱	۱۰/ml	۱۰/۱/ml

جدول شماره ۳- نتیجه پایداری ویروس در مقابل تغییرات دما

ویروس	در ۵۰ درجه (نیم ساعت)	در ۵۶ درجه (نیم ساعت)	در ۵۶ درجه (یک ساعت)
QBV	۱۰/۱/ml	۹/۹/ml	۰
IBV	-	۰	۰

جدول شماره ۴- نتایج آزمایش هم‌گلویتیناسیون

ویروس	میکروپلیت (کشت سلول)	لوله Ag (کشت سلول)	میکروپلیت (مایع تخم مرغ)	لوله Ag (مایع تخم مرغ)
QBV	۶۴	۱/۱۲۸	۶۴	۱/۱۲۸
CELO	۶۴	۶۴	۱۲۸	۱۲۸

جدول شماره ۵- نتایج آزمایشات رسوب در ژل

آنتی‌سرما	QBV (Ag)	CELO (Ag)	IBV (Ag)
آنتی‌سرم نرمال خرگوشی	منفی	منفی	منفی
آنتی‌سرم خرگوشی ضد QBV	تا رقت ۱/۳۳ مثبت	تا رقت ۱/۳۳ مثبت	تا net مثبت
آنتی‌سرم خرگوشی ضد CELO	تا رقت ۱/۱۶ مثبت	تا رقت ۱/۳۳ مثبت	تا ۱/۳۳ مثبت
آنتی‌سرم خرگوشی ضد IBV	تا رقت ۱/۳۳ مثبت	تا رقت ۱/۳۳ مثبت	تا ۱/۳۳ مثبت
آنتی‌سرم استاندارد ضد CELO (با منشاء جوجه‌ای)	تا رقت ۱/۳۳	تا رقت ۱/۳۳	منفی

جدول شماره ۶- نتایج آزمایشات خنثی‌سازی ویروس

آنتی‌سرما	QBV	CELO	IBV
آنتی‌سرم نرمال خرگوشی	منفی	منفی	منفی
آنتی‌سرم خرگوشی ضد QBV	تا رقت ۱/۴۹۶ مثبت	تا رقت ۱/۸۱۲ مثبت	منفی
آنتی‌سرم خرگوشی ضد CELO	تا رقت ۱/۱۲۴ مثبت	تا رقت ۱/۱۲۴ مثبت	منفی
آنتی‌سرم خرگوشی ضد IBV	منفی	منفی	تا رقت ۱/۱۲۴ مثبت
آنتی‌سرم استاندارد ضد CELO (با منشاء جوجه‌ای)	تا رقت ۱/۳۳	تا رقت ۱/۳۳	-

آلوده به ویروس و همچنین کشتهای سلولی آلوده را جهت تهیه عکس به بخش میکروسکوپ الکترونی مؤسسه رازی ارسال نمودیم.

تهیه عکسهایی از جنین تخم مرغ‌های آلوده شده با ویروس

به منظور نشان دادن ضایعات ایجاد شده به وسیله، ویروس بر روی جنینهای ۹ روزه SPF پس از تزریق ویروس، آنها را به مدت ۸ روز در گرمخانه ۳۷ درجه سانتیگراد قرار داده و در خلال این مدت، جنینهای مرده و یا در حال مرگ را از پوسته تخم مرغ خارج نموده و عکسهایی از آنها تهیه گردید.

تهیه عکس‌هایی از کشت سلولی آلوده شده با ویروس

کشت‌های سلولی تک لایه‌ای کبد جنین جوجه، که در لوله‌های مخصوص لایتون ۴ تهیه شده بود، به دو

حاشیه غشاء قرار داشتند، جلب نظر می‌کرد. گنجیدگیها در مراحل اولیه صورتی کم‌رنگ (انوزینوفیلیک) دیده شده و در مراحل بعدی خشن تر و تیره رنگتر به نظر می‌رسیدند. همچنین در بطری‌ها و پلیت‌های محتوی کشت سلولی آلوده شده با ویروس، CPE به صورت سلولهای گرد شده، متورم و شفاف دیده می‌شد. در این حالت سیتوپلاسم سلولها متراکم بوده و سلولها به صورت خوشه‌های انگور دیده می‌شدند و به تدریج از جدار شیشه محتوی کشت سلول کنده شدند (عکسهای شماره ۳، ۴، ۵ و ۶).

ایجاد پلاک در محیط کشت آگار دار

شش روز پس از آلوده نمودن کشت سلولی توسط ویروس، سومین محیط آگار دار رویی را که شامل نترال ردیله بود به آن افزوده و ظهور پلاکها را پس از ۱۸ ساعت مشاهده نمودیم. اندازه پلاکها اغلب یکی دو میلی متر بوده و به اشکال گرد دیده می‌شدند اما گاهی به دلیل اتصال به یکدیگر اشکال نامنظمی را نشان می‌دادند (عکس شماره ۷).

تیتراسیون ویروس در تخم مرغ‌های جنین دار SPF

از مایع آلانومنیوتیک (AAF)، پاساژ پنجم ویروس در تخم مرغ، رقت‌های ۱۰ تا بی تهیه شده و به هر رقت ۶ عدد تخم مرغ تعلق گرفت. تیتراسیون برای دوبار متوالی انجام گردیده، و به روش رید و مونج محاسبه شد. میانگین تیتراژ به دست آمده ۱۰ EID₅₀/ml بود.

تغییرات ایجاد شده در جنین‌های تخم مرغ آلوده شده با ویروس

در رقت‌های پایین ویروسی (۱۰^{-۴} و ۱۰^{-۵}) تلفات جنین اغلب در روزهای چهارم و پنجم پس از تلقیح رخ داد، در صورتی که در رقت‌های بالاتر در ششمین یا هفتمین روز پس از تزریق صورت گرفت. در روزهای چهارم و پنجم پس از تزریق رشد جنین متوقف گردیده و در داخل پوسته کاملاً بی حرکت به نظر می‌رسید. غشاهای جنینی ضخیم شده و غشای آمیوتیک کاملاً به دور جنین پیچیده و آن را به صورت حلقه در می‌آورد. احتقان و خونریزی زیر جلدی در اندامهای مختلف دیده می‌شد. پر خونی و افزایش حجم کبد و طحال همراه با حضور مناطق نکروتیک و لکه‌های سبز مایل به زرد بر روی آنها، غالباً جلب نظر نموده و قلب نیز گاهی پریده رنگ به نظر می‌رسید (عکس‌های ۸، ۹، ۱۰ و ۱۱). همچنین جهت بررسی تغییرات ایجاد شده در جنین‌ها پس از خروج از تخم، تعداد شش عدد از آنها را که پس از آلوده شدن با ویروس، زنده مانده بودند، تا زمان خروج از تخم، در اتو ۲۷ درجه نگهداری نموده، که همگی آنها جوجه‌هایی ضعیف با پاهای لرزان و چشمهای متورم بودند (عکس شماره ۱۲ و ۱۳).

وجود آنتی سرم‌های ضد ویروس در بلدرچین‌های آلوده شده با QVB

دو هفته پس از آلودگی تجربی، ۴ قطعه از بلدرچین‌ها را به طور تصادفی انتخاب کرده و پس از خونگیری آزمایش رسوب در ژل به عمل آمد. در هر چهار مورد خطوط رسوبی کاملاً مشخصی در مقابل پادگن ویروسی QVB ایجاد گردید.

فواصل زمانی مناسب (۱۸، ۲۴، ۴۸ و ۹۶ ساعت)، لامل‌ها را که لایه سلولی بر روی آنها تشکیل شده بود، جهت رنگ‌آمیزی هماتوکسیلین و انوزین به بخش آسیب‌شناسی مؤسسه رازی ارسال نمودیم.

نتایج

عکسهای تهیه شده با میکروسکوپ الکترونی

در این عکسها، ذرات ویروسی به صورت ویروئین‌های بدون پوشش، با ساختمان ایکوزوهدرال، مشاهده گردیدند (عکسهای شماره ۱ و ۲).

عکسهای تهیه شده از 'مهای آلوده (با استفاده از روش رنگ‌آمیزی هماتوکسیلین و انوزین)

در نمونه‌های آلوده شده، قبل از ۹۶ ساعت تغییر قابل ملاحظه‌ای مشاهده نشد، اما پس از طی زمان مذکور، تغییرات اساسی در هسته‌های سلولی دیده شد. گنجیدگیها حلقه‌ای شکل و هسته‌هایی که در کنار



تصاویر شماره ۱۱ - تغییرات ایجاد شده به واسطه ویروس را در جنین تخم مرغ نشان می‌دهد.

ملاحظه‌ای دیده نشد. براساس گزارشات بخش آسیب شناسی، فقط در سه مورد از آنها ریه‌ها و کلیه‌ها پرخون بودند.

ب- بلدرچین‌ها: همانطور که قبلاً ذکر گردید، بلدرچین‌ها به سه روش درون‌نایی، درون چشمی و توأم (دهانی - چشمی - نایی) تلقیح شدند. بلدرچین‌ها تا سه روز اول علائم خاصی را نشان ندادند، در صورتیکه از روز چهارم علائمی چون بی‌اشتهایی، کز کردن و تنفس دهانی، در تعدادی از آنها مشاهده شد. تورم چشمی در ۱۵ قطعه از آنها کاملاً مشهود بود. از بین پرندگان آلوده شده ۲۵ قطعه هیچگونه علائمی را نشان ندادند و کاملاً سالم به نظر می‌رسیدند.

در مشاهدات کالبد شکافی به استثناء ۵ مورد که ریه و نای پرخون و ۵ مورد که بورس فابریسیوس کوچک و تیره رنگی داشتند، سایر پرندگان علائم قابل توجهی نشان ندادند (عکس شماره ۱۴).

بحث

تمامی یافته‌های به‌دست آمده در این مطالعه، نشان می‌دهند که عامل ایجاد کننده این بیماری که منجر به تلفات و در نتیجه خسارات اقتصادی سنگینی گردیده بود، ویروس برونشیت بلدرچین می‌باشد. میزان بالای واگیری و تلفات سنگین و همچنین حضور نشانه‌های تنفسی و کونژنکتیویت، همانطور که توسط Macferan، Winterfield و Dubose شرح داده شده است، از علائم و نشانه‌های خاص این بیماری می‌باشند (۸، ۱۲ و ۱۷). عکسهای تهیه شده به وسیله میکروسکوپ الکترونی نشان داد که ویروس مورد

آزمایش رسوب در ژل

جدول شماره ۵ نشان می‌دهد که ویروسهای CELO، IBV و QBV با آنتی‌سرمهای مخصوص خودشان، توانستند تا عیار $\frac{1}{32}$ خط رسوبی تشکیل دهند. هیچیک از ویروسهای QBV و CELO با آنتی سرم IBV واکنش قابل ملاحظه‌ای را نشان ندادند. در حالی که هر دو ویروس مذکور با آنتی سرم استاندارد CELO- Phelps تا رقت $\frac{1}{64}$ خط رسوبی ایجاد کردند.

آزمایشات خنثی‌سازی ویروس

همانطور که از جدول شماره ۶ بر می‌آید، آنتی سرم ضد ویروس QBV توانست آن را تا رقت خنثی نماید. همچنین آنتی سرم ضد ویروس CELO نیز قادر به خنثی نمودن ویروس QBV تا رقت $\frac{1}{16}$ بود. ویروس CELO نیز متقابلاً تا رقت $\frac{1}{16}$ با آنتی سرم ضد خودش و $\frac{1}{16}$ با آنتی سرم ضد QB و واکنش نشان داد و این در حالی است که هیچیک از دو ویروس مذکور (QBV، IBV) با آنتی سرم واکنش نشان ندادند. اما پاسخ هر دو ویروس در مقابل آنتی سرم CELO استاندارد، یکسان بود.

نتایج تلقیح ویروس مورد مطالعه در پرندگان

الف - جوجه مرغها: جوجه‌هایی را که به چهار روش صفائی، چشمی، دهانی و بینی - نای، تلقیح نموده بودیم، روزانه تا مدت دو هفته مورد بررسی قرار دادیم. پس از طی زمان مذکور جهت بررسی‌های میکروسکوپی و ماکروسکوپی کالبد شکافی گردیدند. جوجه‌ها در زمان حیاتشان، هیچگونه آثار و علائم غیرطبیعی ناشی از بیماری را نشان ندادند و در کالبد شکافی نیز تغییر قابل

تشخیص وجود ویروس در محتویات روده پرندگان

دو هفته پس از آلودگی تجربی پرندگان (بلدرچین‌ها و جوجه مرغها)، ویروس از محتویات روده و مدفوع آنها جدا گردید.

پایداری ویروس در مقابل حلال‌های چربی

جدول شماره ۱ نشان می‌دهد چنانچه ویروس در مقابل حلال‌های چربی (اتروکلروفرم) قرار بگیرد، تغییر قابل توجهی در عیار آن ایجاد نمی‌گردد.

پایداری ویروس در مقابل تغییرات pH

جدول شماره ۲ مقاومت ویروس را در مقابل تغییرات pH نشان می‌دهد. همانطور که از جدول بر می‌آید ویروس قادر است تغییرات pH را به خوبی تحمل نماید.

پایداری ویروس در مقابل تغییرات دما

همانطور که از جدول شماره ۳ بر می‌آید، ویروس QBV حرارت ۵۶ درجه را برای مدت ۳۰ دقیقه به خوبی تحمل کرده، در حالی که ویروس IBV (برونشیت عفونی) قادر به تحمل این درجه حرارت نمی‌باشد. در ضمن هر دو ویروس (QBV و IBV) در دمای ۵۶ درجه سانتیگراد (یک ساعت) از بین رفتند.

آزمایش هماگلوتیناسیون (HA)

همانطور که از جدول شماره ۴ بر می‌آید ویروس QBV عیار $\frac{1}{64}$ را در میکروپلیت، و $\frac{1}{128}$ را در لوله نشان می‌دهد در حالیکه عیار ویروس CELO در میکروپلیت $\frac{1}{64}$ و در لوله $\frac{1}{64}$ نشان داده شد.

می‌نماید، که Burke و Pereira این ویژگی را در مورد سایر آدنووایروس پرندگان نشان دادند (۵ و ۱۴). در آلودگی تجربی جوجه مرغها با ویروس، هیچگونه علائم کلینیکی قابل ملاحظه‌ای مشاهده نگردید و این در حالیست که علائمی چون کونژنکتیویت و باز و بسته کردن دهان در بلدرچین‌های آلوده شده دیده شد، که با توضیحات Macferran و Winterfield مطابقت دارد (۱۳ و ۱۷). لازم به توضیح است که مجموعه نشانه‌های بالینی و آزمایشگاهی ذکر شده در بیماریهای تنفسی دیگر همانند اسپرژیلوزیس و یا نیوکاسل دیده نمی‌شوند. بنابر اظهارات مسئولین فارم پرورش دهنده بلدرچین، پس از شیوع بیماری و بهبودی بلدرچین‌های بازمانده از تلفات، هیچگونه علائمی حاکی از شیوع مجدد بیماری مشاهده نگردید. شایان ذکر است که نژاد بلدرچین‌های مورد مطالعه ما ژاپنی بوده و سن اغلب پرندگانی که جهت آلودگی تجربی به آزمایشگاه ارسال گردیده بودند، بین ۸ تا ۱۶ هفته گزارش گردید.

1- Quail bronchitis Virus 2- Chicken embryo lethal orphan 3- Working dilution 4- Leighton tubes

منابع مورد استفاده

- 1- Aghakhan S.M. Pattison M., 1994. Pathology. 84(4), 495-513.
- 2- Aghakhan S.M., 1994. Review, Veterinary bulletin. Vol 44, No 9, 531-552.
- 3- Aghakhan S.M. Unpublished data, characterization of an avian adenovirus (strain B 1209).
- 4- Bagshaw C., Yates V.J., 1980. Journal of wildlife diseases, 16:2, 287-291.
- 5- Burke C.N., 1968. Luginbuhl R.E. PhD these.
- 6- Dawson G.H. & Yates V.J., 1979. American journal of veterinary research, 40:11, 1627-1628.
- 7- Denny F.S., 1961. Journal of Immunol, 86:567.
- 8- DuBose R.T., 1971. Quail bronchitis, Infectious and parasitic diseases of wild birds, PP:42-47, Iowa state Univ press, Ames.
- 9- Jasty V. & Yates V.J., 1973. Avian dis, 1973, 17, PP: 49-65.
- 10- Karel A.S. & Purchase H.G., 1989. A laboratory manual for the isolation and identification of avian pathogens, chapter 40, P:167, American association of avian pathologists, third edition.
- 11- Khawaja D.A. & Sattar A., 1988. Journal of veterinary research, 1:1, P:51-52.
- 12- Macferran J.B., 1977. Review, P:189-217.
- 13- Macferran J.B., 1997. Diseases of poultry, section 22, adenovirus infection, Ninth edition P:552.
- 14- Pereria H.G., 1962. Virology, 18, 1-8.
- 15- Riddell C. & Denhurk J.V., 1992. Avian dis, 36(1), P:158-63.
- 16- Sharma K. & Sharma S.N., 1983. Indian journal of animal sciences, 53, 12, P:1357-1358.
- 17- Winterfield R.W. & DuBose R.T., 1991. Diseases of poultry. Quail bronchitis, P:564-565, Ninth edition.
- 18- Yates V.J. & Rhee Y.O., 1977. Avian dis, 21:3, 408-418.
- 19- Yates V.J. & Rhee Y.O., 1977. Avian dis, 20:1, 146-153.

تصویر شماره ۱۲ و ۱۳- تغییرات ایجاد شده را در جوجه‌های تازه هچ شده از تخم مرغ‌های آلوده شده ویروس را نشان می‌دهد تورم چشمی و ضعف شدید مشهود می‌باشد.



تصویر شماره ۱۴- بلدرچین آلوده شده به وسیله ویروس را نشان می‌دهد در این تصویر تورم چشمی کاملاً مشهود است.



کوتولگی جنین، پیچیده شدن محکم کیسه زرده به دور جنین، خونریزی و احتقان در احشاء و بالاخره مرگ جنین گردیده که با مشاهدات سایر محققین سازگاری دارد (۲، ۵، ۶ و ۱۷). البته بایستی متذکر شد که ویروس برونشیت عفونی نیز قادر به ایجاد چنین تغییراتی در جنین تخم‌مرغ می‌باشد، که می‌توان آنها را به کمک آزمایشات خنثی‌سازی از یکدیگر متمایز ساخت. ویروس مورد مطالعه ما قادر به ایجاد پلاک در سلول‌های کبدی جنین جوجه بوده و همچنین در مقابل حلال‌های چربی (اتر و کلروفرم) و تغییرات دما و pH مقاوم می‌باشد که این ویژگیها با یافته‌های محققینی چون Burke و Denny مطابقت دارد (۵ و ۷). ویروس برونشیت بلدرچین قادر به آگلوتینه نمودن گلبولهای قرمز جوجه نبوده اما گلبولهای قرمز رات را آگلوتینه

مطالعه دارای ساختمانی آیکوزوهیدرال با تقارن مکعبی به صورت ۲:۳:۵ بوده که با ساختمان سایر آدنووایروس پرندگان توافق دارد (۲، ۵ و ۱۳).

با آلوده نمودن کشتهای سلولی اولیه جنین جوجه، تغییراتی همچون تراکم سیتوپلاسمی، گرد و متورم شدن سلولها، توده توده و جدا شدن تدریجی آنها از جدار شیشه کشت سلول، ملاحظه گردید. در لامهای رنگ‌آمیزی شده به روش همتاتوکسیلین و اتوزین نیز تغییرات اصلی در هسته سلولها به وجود آمده و گنجیدگیهای بازوفیلیک در درون سلول به وضوح قابل مشاهده بودند، که مطالعات Burke در این زمینه، مؤید چنین تغییراتی در سلولها می‌باشد (۵).

تزریق ویروس به تخم مرغ‌های جنین‌دار SPF منجر به تغییراتی نظیر حلقه‌ای شدن، توقف در رشد و